

## الفصل الثالث

### Chapter ( 3 )

دراسة عن نمذجة ظاهرة الانهيار في الأوساط الصلبة المستحدثة بواسطة أشعة الليزر

A study on modeling of the breakdown phenomenon in solids induced by laser radiation

( 3-1 ) Introduction

( 1-3 ) مقدمة

في دراسة عن استخدام ظاهرة الانتراع بالليزر في تحليل العينات أعطى بوجارتز و مجموعته (Bogaerts et al, 2003) نظرة عامة عن المداخل المختلفة لنموذج هذه الظاهرة وقد وضع العديد من النماذج لدراسة ظاهرة الانتراع بأشعة الليزر تعمل في مناطق مختلفة من حيث الطول الموجي (يغطي مدى من أشعة فوق بنفسجية إلى أشعة تحت حمراء) و شدة الاستضاءة تتراوح ما بين  $10^{10}$  -  $10^{14}$  W/cm<sup>2</sup> وأطوال نبضة مابين الفيمتوثانية و النانوثرانية. وأجريت الدراسات على مادة هدف تغيير ما بين المعادن و المواد العضوية الصلبة، أو وسط غازي يتغير من فراغ إلى ضغط جوي، كل هذه الظروف المختلفة أخذت في الاعتبار في التطبيقات العديدة لظاهرة الانتراع بالليزر. وقد اشتراك معظم النماذج العددية التي وضعت لتفسير هذه الظاهرة في العمليات الحرارية بالآتي :

تسخين المادة الصلبة يتبعها انصهار و تبخّر. وقد تم وصف تفاعل المواد الصلبة مع الليزر في نطاق ماكروسکوپي أي باستخدام معادلة التوصيل الحراري (Watanabe and Iguchi, 1999; Yoo et al, 2000; Zhang et al, 2001) وقد تحقق هذا الفرض لتفاعل نبضة الليزر في حدود النانوثرانية خاصة للمعادن. في الحقيقة يمتص الضوء في المعادن بواسطة التفاعل مع الإلكترونات، حيث يمتص الإلكترون طاقة الفوتون الساقط ليرتفع لمستويات طاقة عالية في شريط التوصيل. عندئذ تصطدم الإلكترونات المثاررة مع فونونات الشبكة حيث تنقل

الطاقة الممتصة للشبيكة. و نظراً لأن زمن ارتخاء الطاقة للمعادن في حدود  $s^{-3} \times 1.639$  فيما يمكن اعتبار أن الطاقة البصرية تحول لحظياً إلى حرارة في حالة الانتزاع بنبضات ليزر التانوثرانية. حينئذ يمكن تطبيق مفاهيم درجة الحرارة و التوصيل الحراري (Ready, 1971). أما لنبضات ليزر البيكوثانية و الفيمنتوناثانية فإنه لا يمكن النظر لتحول طاقة الإلكترون لحظياً إلى حرارة و لذلك طبق نموذج ذو درجتين للحرارة يصف الترابط بين درجة حرارة الإلكترون و درجة حرارة الشبيكة (Gudde et al, 1998; Wellershoff et al, 1999). بالإضافة إلى ذلك وضعت بعض النماذج الميكروسكوبية التي تعتمد على حل معادلة بولتزمان الانتقالية التي تصف انتقال الإلكترونات و كذلك التفاعل بين الإلكترون و الشبيكة (Qiu and Tien, 1993) أو تعتمد على محاكاة ديناميكية الجزيء في حالة المعادن (Ohmura and Fukumoto, 1993) أو للمواد العضوية الصلبة (Itina et al, 2002; Zhigilei et al, 1998) و هذه النماذج محددة في نطاق زمني قصير و ذلك بسبب طول زمن الحسابات. أما النموذج الميزوسكوبيك Mesoscopic (MendesRibeiro et al, 1998; Stoneham et al, 1999) فهو يربط الظواهر الميكروسكوبية والماקרוسكوبية. و يكون فيها نطاق الزمن أقل تحديداً عن محاكاة ديناميكية الجزيء حيث يمكن بطريقة كافية وصف سلوك حالة عدم الاتزان الحادة.

و قد استخدمت هذه النماذج لتفسير العديد من القياسات المعملية التي أجريت لدراسة تفاعل أشعة الليزر مع الأهداف الصلبة (Abdellatif and Imam, 2002; Hafez et al, 2003)

وقد أخذت هذه الدراسات في الاعتبار أن انهيار المواد الصلبة يقاس بنسبة الضرر في السطح الصلب الذي تحدثه أشعة الليزر الساقطة خلال زمن النبضة . وقد تم التركيز على المواد العازلة الشفافة مثل المكونات البصرية (العدسات والمرايا... وغيرها) التي تستخدم في أجهزة الليزر نفسها. وأوضحت هذه الدراسة أن ظاهرة الانهيار تتم في هذه الأوساط وفقاً لما يلي: تكون الإلكترونيات الابتدائية بواسطة عملية الامتصاص متعدد الفوتونات أو التسخين الحراري في حالة الأجسام الصلبة، لتزداد كثافتها بعد ذلك بواسطة عملية التصادم الإلكتروني التدريجي عن طريق العملية العكسية لبرمشترانج . ووجد أن شدة المجال الكهربائي اللازم لانهيار الوسط في حالة المواد الصلبة تعطى بالعلاقة

$$E_{th} = \frac{e}{\epsilon_0} \frac{N^{2/3}}{(n^2 - 1)} \quad (3-1)$$

حيث  $N$  هي عدد الذرات في الوسط ،  $\epsilon_0$  هي معامل النفاذية ،  $n$  هي معامل انكسار الوسط . وقد أمكن تطبيق هذه العلاقة أيضاً لتحديد شدة الاستضاءة اللازمة لأنهيار الأوساط السائلة . وفي دراسة أخرى (Chylek et al, 1990) وجد أن ظاهرة الانهيار تحكمها عملية التأين بالامتصاص متعدد الفوتونات وأن شدة الاستضاءة اللازمة لأنهيار تتناسب مع  $P^{-\frac{1}{K}}$  ، حيث  $K$  معامل اللاخطية (أو عدد الفوتونات اللازمة لتأين الوسط) .

من هنا نجد أن هناك تشابهًا بين النماذج العددية التي وضعت لتفسير ظاهرة انهيار المستحث بواسطة أشعة الليزر في الأوساط الصلبة و السائلة و فيما يلي نقدم شرحًا للأسس الفيزيائية التي اعتمدت عليها النمذجة العددية لظاهرة انهيار المواد الصلبة بواسطة أشعة الليزر المؤدي إلى الضرر.

## ( 2-3 ) خلفية عن النماذج العددية ( 3-2 ) Back ground on numerical model

كان تضرر المواد العازلة بواسطة المجالات الكهربائية ذات الشدة العالية محل دراسة عملية ونظرية للعديد من الباحثين ، مثل (Klein, 1969 ; Fradin, 1973 ; Bloembergen, 1974) وعلى الرغم من هذه المحاولات العديدة التي أجريت لوضع نموذج نظري لدراسة الضرر المستحدث بواسطة أشعة الليزر في الهالوجينات القلوية ، فإنه لم يتم الحصول على نظرية يمكنها أن تفسر في وقت متلازم قيمة المجال الكهربائي اللازم للانهيار كدالة في كل من درجة الحرارة ، والطول الموجي ، وزمن النبضة ، وكذلك طبيعة المادة . وخلال السنوات الماضية أجريت محاولات عديدة لوضع نماذج يمكن بها تفسير ظاهرة الانهيار في المواد الصلبة بواسطة أشعة الليزر كما سنرى فيما يلي .

فقد تمكن الباحث سباركس ومجموعته ( Sparks et al, 1981 ) من وضع نظرية للاكترون التدريجي لتفصير الانهيار في المواد الصلبة . اعتمدت هذه الدراسة على تحديد قيمة شدة المجال الكهربى اللازم للانهيار كدالة فى درجة الحرارة و زمن النبضة وكذلك طبيعة المادة.

وقد اعتمد هذا النموذج على معالجة رياضية مبسطة للحصول على شرط الانهيار من خلال حساب معدل فقد متوسط طاقة الالكترون للشبيكة ، ومعدل اكتساب متوسط طاقة الالكترون من المجال الكهربى ، ليكون على الصورة

$$\left( \frac{d\varepsilon}{dt} \right)_E > \left( \frac{d\varepsilon}{dt} \right)_L \quad (3-2)$$

حيث يمثل الطرف الأيسر معدل اكتساب الطاقة بواسطة الالكترونات من المجال الكهربى ، والطرف الأيمن يمثل معدل فقد لمتوسط الطاقة للالكترونات للشبيكة . حيث يعطى معدل الكسب على النحو التالي

$$\begin{aligned} \left( \frac{d\varepsilon}{dt} \right)_E &= \frac{1}{3} \sigma E^2 \\ \sigma &= \frac{e^2 \tau_K}{m^* (1 + \omega^2 \tau^2 K)} \end{aligned} \quad (3-3)$$

حيث  $\sigma$  مساحة مقطع الطاقة المكتسبة ،  $e$  هي شحنة الالكترون ،  $E$  هي جذر متوسط مربع القيمة للمجال ،  $m^*$  هي الكتلة الفعلية للإلكترون ،  $\omega$  التردد الزاوي للأشعة ،  $\tau$  مقلوب معدل تبادل العزم بين الالكترونات والشبيكة .

$$\left( \frac{d\varepsilon}{dt} \right)_L = \hbar \omega_{ph} \gamma_L \quad (3-4)$$

حيث  $\omega_{ph}$  متوسط تردد الفونون ،  $\gamma_L$  هي معدل فقد الطاقة خلال الاصمحلان ، وعليه فإن محصلة كسب الطاقة تعطى بالمعادلة

$$\frac{d\varepsilon}{dt} = \frac{1}{3} \sigma E^2 - \hbar \omega_{ph} \gamma_L \quad (3-5)$$

وبتكامل هذه المعادلة واستخدام شرط الانهيار أمكن الحصول على علاقة تحدد قيمة شدة المجال اللازمة للانهيار والتي أمكن مقارنتها بالقياسات المعملية .

وقد تم تطبيق هذا النموذج مع مصادر من أشعة الليزر تعمل عند أطوال موجية تزيد عن  $1\mu m$  ، وقد أمكن الحصول على توافق بين القياسات العملية والقيم المحسوبة . وأوضحت هذه الدراسات أنه يجب الأخذ في الاعتبار مساهمة كل من الفوتونات الضوئية والفونونات الصوتية لفقد طاقة الالكترون ، وكذلك انسياب طاقة الالكترونات على امتداد محور الطاقة . كما قدمت تفسيرات النموذج المبسط توقعات فيزيائية لظاهرة الانهيار ،

وكذلك شروط الحصول عليها . وأشارت النتائج أن انسياب الالكترونات يمكن إهماله في حالة استخدام مصادر لأشعة الليزر تعمل عند أطوال موجية تقل عن  $1 \mu m$  ، بينما في هذه الحالة يجب الأخذ في الاعتبار عملية الامتصاص متعدد الفوتونات .

( Arnold and Cartier, 1992 ) ومن وجهة نظر أخرى وضع الباحثان أرنولد وكارتيير نظرية لتفسير تسخين الالكترونات الحرقة المستحثة بواسطة أشعة الليزر المؤدي للتأين بالتصادم في المواد الصلبة ذات الفجوات الواسعة . وركزت هذه الدراسة على وضع نظرية مايكروسโคبية لتفسير التفاعل بين أشعة الليزر ذات شدة الاستضاءة العالية (التي تعمل عند الأطوال الموجية في المنطقة المرئية وتحت الحمراء) ، والكترونات حرقة في مواد صلبة ذات فجوات واسعة . وقد أجريت الحسابات على مادة أكسيد السيليكون  $Si O_2$  للحصول على معدل تضاعف الالكترونات خلال عملية التأين من شريط إلى شريط نتيجة لزيادة طاقتها المكتسبة من المجال الكهربائي كدالة في شدة استضاءة أشعة الليزر ذات الأطوال الموجية التي تقع في المدى  $\lambda < 250 nm$  . واعتمدت النظرية على طريقة مونتوكارلو لتكامل معادلة بولتزمان الانتقالية . وتم وصف الحد الذي يمثل تفاعل الالكترون مع الشبكة بدلالة التشتتقطبي والفنون الصوتي . وقد تم دمج التأين بالتصادم من شريط إلى شريط باستخدام معادلة تقريبية تطبق في هذه الحالة من نوع كيلدش . وتمت معالجة التفاعل بين أشعة الليزر والالكترونات الحرقة بتقرير قياسي كلاسيكي و كمياً باستخدام نظرية الاضطراب ذات الدرجة الثانية . ووجد أن استخدام مدخل الفيزياء الكلاسيكية للتفاعل بين الالكترون ومجال الليزر يمكن أن يستخدم لأطوال موجية تزيد عن  $2 \mu m$  ، بينما تم الحصول على نتائج مناسبة للأطوال الموجية القصيرة التي تقل عن  $1 \mu m$  عند استخدام مدخل ميكانيكا الكم . بينما لم تتمكن هذه النظرية من الحصول على نتائج مناسبة عند أطوال موجية تزيد عن  $1 \mu m$  . وبإجراء الحسابات عند  $1 \mu m$  وجد أن كل من هاتين الطريقتين أعطتا قيمة غير دقيقة . وقد وجد أن معدلات تضاعف الالكترون تقل بشكل سريع مع زيادة انخفاض الطول الموجي مما يدل على أن عملية الامتصاص متعدد الفوتونات تصبح هي الآلية السائدة للحصول على الكترونات حرقة عند الأطوال الموجية في المنطقة المرئية . وعلى وجه العموم فإنه على مدى الأطوال الموجية التي تم اختبارها أمكن للنظرية أن تتوقع بكفاءة عالية معدل انتقال الطاقة للالكترونات الحرقة من مجال الليزر الشبكة ، ومنها أمكن التوصل إلى طريقة جيدة لكيفية تسخين الشبكة بواسطة الالكترونات الحرقة الناتجة عن الامتصاص متعدد الفوتونات في الفترة الزمنية قبل الانهيار . وقد توافقت نتائج القيم

المحسوبة لهذه النظرية مع القبابات العملية التي أعطيت بواسطة الباحث جون ومجموعته . (Jones et al, 1989)

ومن جهة أخرى وضع الباحثان ابوستولوفا وهاهن (Apostolova and Hahn, 2000) نموذجاً لدراسة الضرر المستحدث بواسطة أشعة ليزر تعمل بنبضات قصيرة جداً  $\tau < 1 \text{ ps}$  لمواد عازلة ذات فجوات طاقة عريضة ، وقد تم بذل جهد كبير لفهم العمليات الفيزيائية المعقدة التي يشملها التفاعل . وقدم الباحثان شرحاً تفصيلياً للطريقة العددية المستخدمة لحل المعادلة المتغيرة مع الزمن من نوع فوكر - بلانك للالكترونات الحرة الناتجة ، وهي على الصورة

$$\frac{\partial f(\varepsilon, t)}{\partial t} = S(\varepsilon, t) - \frac{\partial J(\varepsilon, t)}{\partial t} \quad (3-6)$$

حيث  $f(\varepsilon, t)d\varepsilon$  كثافة الالكترونات التي تقع بين  $\varepsilon, \varepsilon + d\varepsilon$  عند زمن  $t$  ، أما  $S(\varepsilon, t)$  فهي تعطى بالمعادلة

$$S(\varepsilon, t) = R_{imp}(\varepsilon, t) + R_{cec}(\varepsilon, t) + R_{pi}(\varepsilon, t) \quad (3-7)$$

وهي تعبر عن الحدود التي تمثل مصدراً لالكترونات وفقدانها ، ويمثل المقدار  $J(\varepsilon, t)$  محصلة زيادة كثافة الالكترونات لوحدة الحجم نتيجة لزيادة الطاقة من قيمة تقل عن  $\varepsilon$  لقيمة تزيد عن  $\varepsilon$  لوحدة الزمن ويمثل التيار كالة في الطاقة كالتالي

$$J(\varepsilon, t) = R_J(\varepsilon, t)f(\varepsilon, t) - U_L(\varepsilon, t)f(\varepsilon, t) - D(\varepsilon, t)\frac{\partial f(\varepsilon, t)}{\partial \varepsilon} \quad (3-8)$$

حيث يمثل الحد الأول من هذه المعادلة معدل زيادة كسب طاقة الالكترونات من المجال الكهربائي ويعطى بالعلاقة

$$R_J(\varepsilon, t) = \frac{1}{3}\sigma(\varepsilon)E(t)^2 \quad (3-9)$$

أما الحد الثاني من المعادلة فيمثل معدل فقد الالكترونات للفونونات ويعطى بالعلاقة

$$U_L(\varepsilon) = \hbar \omega_{ph} \gamma_l(\varepsilon) \quad (3-10)$$

حيث  $\gamma_l(\varepsilon)$  هي معدل انتقال طاقة الالكترون للشبيكة و  $\hbar \omega_{ph}$  هي تمثل طاقة الفونون . أما الحد الثالث من المعادلة فهو يصف معامل الانسياب على امتداد محور الطاقة ويعطى بالمقدار

$$D(\varepsilon, t) = \frac{2}{3} \sigma(\varepsilon) E(t)^2 \varepsilon = 2 \varepsilon R_J(\varepsilon, t) \quad (3-11)$$

كما تحسب الطاقة المكتسبة للإلكترونات من المجال الكهربائي بدلالة التوصيل للإلكترون  $(\sigma(\varepsilon))$  وتعطى بالمقدار

$$\sigma(\varepsilon) = \left| e^2 \tau_k(\varepsilon) \right| / \left\{ m^* [1 + \omega^2 \tau_k^2(\varepsilon)] \right\} \quad (3-12)$$

ويؤخذ كل من معامل تسخين جول ، و معامل الانسياب كدالة في شدة الاستضاءة أشعة الليزر. في المعادلات السابقة تم استخدام طريقة الفرق المحدود لحل هذه المعادلة . حيث أوضحت الحسابات أن هناك تنافساً بين عملية التأين بالتصادم التدريجي وعملية التأين بالامتصاص متعدد الفوتونات لأزمنة نبضة متناهية في القصر والتي تقل عن 25 fs . وتم اختبار دقيق لكل المعدلات التي استخدمت في هذه المعادلة ، كما تم تعريف المعدلات الحرجة منها . وبناءً على ذلك أمكن الحصول على معلومات قيمة لتضرر المواد حسب التطبيقات المختلفة .

بالإضافة إلى ذلك امتدت الدراسة لوصف اضمحلال البلازما المتكونة ، وقد أخذ في الاعتبار معدل إعادة الاتحاد ذات الأجسام الثالث ، لذلك تمت معالجة التغير الزمني لكتافة الإلكترونات خلال نبضة مفردة ، وكذلك في حالة تعرض الوسط لنبضتين بينهما زمن تأخير . وقد نجح النموذج جزئياً في الحصول على تفسير للنتائج المعملية الحديثة ، وتم أخذ في الاعتبار حد يمثل الأضمحلال الخطى والتشوه البصري عند تحديد شدة الاستضاءة اللازمة لتضرر الوسط الصلب .

واستمراراً لدراسة الظواهر الفيزيائية المصاحبة لتفاعل أشعة الليزر ذات الشدة العالية مع المواد العازلة وضع الباحثان فاتسيا ونيكومب (Vatsya and Nikumb, 2002) نموذجاً عددياً ارتكز أساساً على التأين التدريجي المستحدث بواسطة أشعة الليزر في المواد العازلة . واعتمدت هذه الدراسة على تفسير تغير شدة استضاءة أشعة الليزر مع درجة التأين التدريجي . وتم حساب معدل هذه العملية مباشرةً باستخدام المعادلات المختزلة بدلاً من معادلات الحركة المتغيرة مع الزمن ، ويعتمد نموذج الفيض المضاعف على المعادلة التي تعطي التأين التدريجي على الصورة

$$\frac{dJ(\varepsilon,t)}{d\varepsilon} = -\beta(t) g(\varepsilon) \quad (3-13)$$

حيث  $\beta(t)$  تعطى بالعلاقة

$$\beta(t) = \partial \gamma(t) / \partial t \quad (3-14)$$

حيث  $\gamma(t)$  هو معامل نمو كثافة الإلكترونات . و  $g(\varepsilon)$  يمثل شكل دالة توزيع طاقة الإلكترونات ، وهو لا يتغير مع الزمن ، وتزداد قيمته أسيّاً بزيادة معامل النمو  $\gamma(t)$  . أدى ذلك إلى إجراء الحسابات بطريقة أسهل . وتمت مقارنة هذه الطريقة مع الحسابات التي أجريت باستخدام كل من نموذج الفيض المضاعف والمعادلة الخطية لفوكر - بلانك ، والتي سبق ذكرها . وقد طبقت هذه المقارنة على مادة السيليكا المنصهرة fused silica ، و أعطى نموذج الفيض المضاعف قيمةً لمعدل التأين التدريجي أعلى من القيم المتوقعة بنسبة تتراوح ما بين 8%-10% . وعلى الرغم من أن صفات المعادلات التي تصف تصرف تصرف التأين التدريجي توضح أن معدل هذه العملية يتغير تغيراً لخطياً مع شدة الاستضاءة ، إلا أن النتائج التي تم الحصول عليها للمادة المستخدمة أوضحت أن هذا المعدل يتغير تغيراً خطياً عند قيم شدة الاستضاءة العالية في المدى من  $1TW/cm^2$  إلى مالا نهاية ، وكذلك الحال عند القيم المنخفضة لشدة الاستضاءة لمدى يصل إلى  $0.01TW/cm^2$  . أما عند القيم المتوسطة لشدة الاستضاءة فقد وجد أن هناك اختلافاً واضحاً من التغير الخطي .

وعند تطبيق شكل نبضة جاوسي فإن النمو الأسوي لتوزيع كثافة الإلكترونات في منطقة الزيادة التدريجية يظل تقربياً في تناسب مع التغير اللحظي لشدة الاستضاءة ، وعلى الرغم من

تزايد ثابت التناوب مع زيادة الشدة العظمى إلا أن هناك اختلاف مهم عند المناطق المرتفعة والمنخفضة لمدى الشدة.

ما سبق يتضح أن نمذجة ظاهرة الانهيار أو تضرر المواد الصلبة المستحثة بواسطة أشعة الليزر تحكمه معادلات تعتمد أساساً على تعين دالة توزيع طاقة الالكترونات للحصول على قيمة شدة الاستضاءة اللازمة للانهيار ، وكذلك خصائص البلازما المترسبة خلال التفاعل ، وذلك باستخدام معادلات فوكر بلانك التي تأخذ في الاعتبار تغير كثافة التيار وقد طاقة الالكترونات خلال الشبكات .

### (3-3) نمذجة عددية للضرر الناتج عن نبضات متناهية القصر

**(3-3)Numerical modeling for the damage caused by ultra short pulses**

أصبحت مصادر الليزر بشكل عام أدوات حية لتطوير المواد منذ اختراعها خلال الأربعينيات. وقد أدت الإمكانيات المتزايدة لمصادر ليزر الفيمتوثانوية عالية الشدة إلى الاهتمام الكبير بالمعالجة الدقيقة للمواد. وعلى عكس معالجة المواد باستخدام نبضات طويلة من مصدر ليزر النانوثانية، حيث تسود أنماط قياسية من العمليات الحرارية، فإن تفاعلات ليزر الفيمتوثانوية مع المواد يصاحبها انسياپ جزء صغير جداً من طاقة الليزر على شكل حرارة والتي تنتقل في المادة المحيطة بالمساحة المشععة بواسطة أشعة الليزر. نتيجة لذلك فإن نبضات من ليزر الفيمتوثانوية يمكن أن تحدث تغيرات بنائية غير حرارية، تساق مباشرة بواسطة الإثارة الإلكترونية والعمليات اللاخطية المصاحبة لها قبل أن تنجز شبكة المادة وحاملاً الشحنة المثاررة. وينتج عن هذا النمط السريع في معالجة المادة تلاشي الإجهاد الحراري وخفض الضرر العرضي أثناء معالجة المادة الصلبة . بالإضافة إلى ذلك فإن الضرر الناتج عن نبضات ليزر الفيمتوثانوية تكون بعيدة عن الانتظام من طلقة إلى أخرى. لذلك هذه الصفات للانهيار جعلت مصادر ليزر الفيمتوثانوية أدوات مثالية للمعالجة الدقيقة للمواد.

بجانب الاهتمام بنبضات ليزر الفيمتوثانوية الواعدة في معالجة المواد العازلة ذات فجوة الطاقة العريضة للعديد من التطبيقات فإن إدراك المفاهيم الأساسية عند تفاعلات ليزر الفيمتوثانوية ذو الشدة العالية مع المواد العازلة أصبح مجالاً للتحدي. وقد أجري العديد من

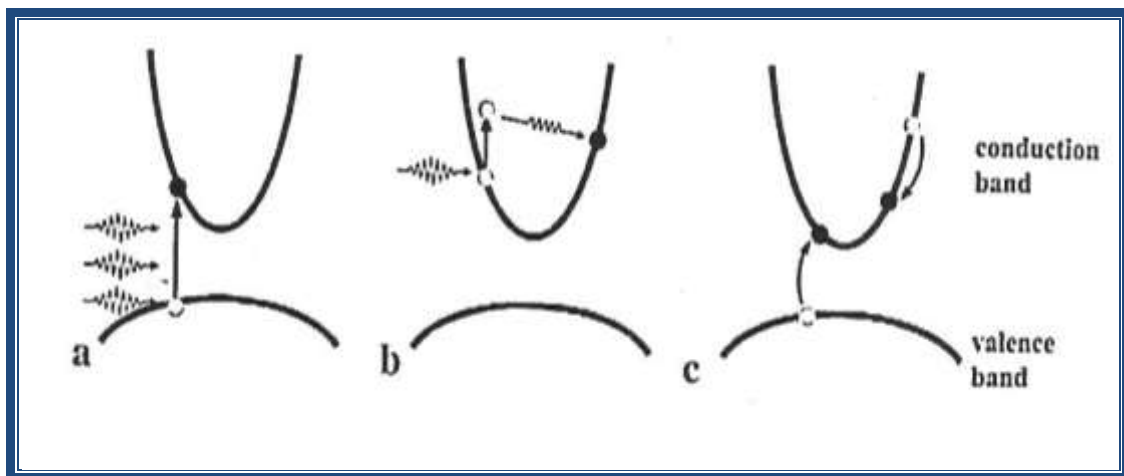
الدراسات التي تعطي نظرة شاملة عن بعض المفاهيم التي لم تغطى بعد عند تفاعل ليزر الفيمتوثانية مع المواد العازلة . ومن أحد هذه الدراسات تلك التي قام بها ماو ومجموعته (Mao et al, 2004) والتي اتجهت لتحديد ديناميكية تفاعل ليزر الفيمتوثانية مع المواد العازلة لتحديد خطوات إثارة حاملات الشحنة بأخذ في الاعتبار عملية التأين الفوتوني والعملية العكسية لبرمشتراهلنجز والتي تسمى أحياناً بعملية تسخين جول ثم عملية التأين التدريجي .

ففي حالة نبضات متاهية القصر وشدة استضاءة عالية فإن نبضة الليزر تنتشر في المادة العازلة وتؤدي إلى إزاحة في الشحنات المقيدة كما أنها تحدث ثلثي قطب كهربائي متذبذب يزيد من استقطاب الوسط وينتج عن هذا الانتشار تغير أيضاً في معامل انكسار المادة العازلة محدثاً تجمعاً ذاتياً لحزمة الليزر أثناء انتشارها مما يزيد من شدة الاستضاءة وينتج عن ذلك تكون البلازما التي تعمل بدورها على انفراج الحزمة مرة أخرى كل هذه العمليات تؤدي إلى تكون عيوب في المادة الصلبة والتي يطلق عليها الضرر. وفيما يلي نعطي شرحاً مختصراً عن كل من هذه العمليات.

### 1-3-3) التأين الفوتوني وتكون الإكسيتون

#### (3-3-1) Photo ionization and exiton formation

عند تشيعي مواد عازلة ذات فجوة طاقة عريضة باستخدام نبضات ليزر الفيمتوثانية بطول موجي يقترب من المنطقة المرئية أي يتراوح ما بين الأشعة تحت الحمراء القريبة إلى فوق البنفسجية، فإن طاقة الفوتون المفرد لهذه الأشعة لا تكون كافية لإثارة إلكترون من شريط التوصيل، لذلك لانتقال الإلكترون يجب أن يكون هنالك امتصاص متلازم لعدد من الفوتونات حتى ينتقل من شريط التكافؤ إلى شريط التوصيل شكل a (1-3). ويعتمد معدل التأين الفوتوني بشدة على شدة استضاءة أشعة الليزر



شكل (3-1) رسم تخطيطي لإثارة الإلكترونات و تكون الإكسيتون.

ويعبر عن هذا المعدل بالمقدار  $\sigma I^K$  حيث  $I$  هي شدة الاستضاءة و  $\sigma$  هي مساحة مقطع امتصاص عدد  $K$  من الفوتونات لإثارة إلكترون من شريط التكافؤ إلى شريط التوصيل . ويتم تعين عدد الفوتونات اللازمة لهذا الانتقال من العلاقة  $\epsilon_e > K\hbar\omega$  حيث  $\epsilon_e$  هي طاقة الفجوة للمادة العازلة ،  $\hbar\omega$  هي طاقة الفوتون . ونظرا لأن ليزر الفيمتوثانائية له شدة استضاءة عالية عن مصادر الليزر التقليدية لذلك يمكنه إحداث انتقالات داخلية بدرجة عالية بين شريطي التكافؤ و التوصيل.

وبجانب هذه العملية هناك عملية تأين فوتوني أخرى يمكن أن تحدث خلال تفاعل نبضات ليزر الفيمتوثانائية مع المواد العازلة لنبضات نقل عن fs 10 هذه العملية تم تفسيرها بشكل واسع لعدد من الذرات والجزيئات . ففي منطقة المجالات عالية الشدة فإن تراكم مجال كولوم للنواة والمجال الكهربائي لأشعة الليزر ينتج عنه تذبذب محدد ل حاجز الجهد يمكن من خلاله أن تتخبط الإلكترونات المقيدة ، وتهرب من الذرة . في المواد العازلة تسمح هذه الآلية للإلكترونات في شريط التكافؤ أن تخبطي فجوة الطاقة وتنقل إلى شريط التوصيل في فترة زمنية تقل عن نبضة الليزر . من هذا يتضح أنه يمكن معالجة كل من التأين متعدد الفوتونات والتأين النقي تحت نفس الإطار النظري الذي وضع بواسطه كيلدش(Keldysh, 1965). وقد وضع كيلدش معامل يحدد الانتقال من التأين متعدد الفوتونات إلى التأين النقي على الصورة

$$\gamma = \omega (2m^*E_g)^{1/2} / eE \quad (3-15)$$

حيث  $m^*$  و  $e$  هي الكتلة الفعالة وشحنة الإلكترون ،  $E$  هي سعة المجال الكهربائي لأشعة الليزر الذي يتذبذب بتردد زاوي  $\omega$  . وعندما تزيد قيمة  $\theta$  عن الواحد الصحيح والتي هي الحالة لمعظم المواد العازلة التي أجريت عليها الدراسات عند تفاعلها مع أشعة الليزر فإن الثنائي منعدد الفوتونات هو عملية الإثارة السائدة .

(3-3-2)Free carrier absorption (2-3-3)امتصاص حاملات الشحنة الحرة

يمكن لإلكترون مثار إلى شريط التوصيل لمادة عازلة ذات فجوة طاقة واسعة أن يمتص عدد من فوتونات الليزر بطريقة متتابعة لينتقل إلى مستويات طاقة عليا . حيث يتم بفاعلية امتصاص حاملات الشحنة الحرة كما في شكل b .

ويعتمد معامل الامتصاص  $\alpha_0$  الذي يساوي مقلوب عمق الامتصاص على الجزء التخييلي من معامل الانكسار  $r$  حيث  $c = 2\omega r/c$  حيث  $c$  هي سرعة الضوء . ويرتبط معامل الانكسار المركب  $n + ir = \bar{n}$  بدالة المادة العازلة  $\bar{e}$  والتي يمكن التعبير عنها بالعلاقة التالية وفقاً لنموذج درود

$$\tilde{\varepsilon} = 1 - \omega_P^2 \left[ \frac{\tau^2}{1 + \omega^2 \tau^2} + i \frac{\tau^2}{\omega \tau (1 + \omega^2 \tau^2)} \right] \quad (3-16)$$

$\tau$  هو زمن التشتت ويساوي جزء من الفيمتوثانية ويعتمد على طاقة إلكترون التوصيل . وللمواد العازلة ذات فجوة الطاقة الواسعة الواقعة تحت تأثير أشعة الليزر ذات شدة استضاءة عالية فإن الإلكترونات تعاني من تفاعلات قوية مع الشبكة والتي تتصرف بكل من تشتت فوتون قطبي وغير قطبي (Fischetti et al, 1985; Arnold and Cartier, 1991) . وفي العلاقة

$\sim$

التي تعبر عن  $\tau$  ،  $w_p$  هي تردد البلازمما وتعرف بالعلاقة.

$$\omega_p = \sqrt{\frac{e^2 N}{\epsilon_0 m^*}} \quad (3-17)$$

حيث  $N$  هي كثافة حاملات الشحنة و  $\epsilon_0$  هي السماحية الكهربائية . وعندما تصل كثافة الإلكترونات المتولدة بواسطة التأين الفوتوني إلى قيمة عالية  $10^{21} \text{ cm}^{-3}$  فإن جزء كبير من نبضة ليزر الفيمتوثانية المتبقية يمكنه أن يمتص . ومن المهم أن نذكر أن الطاقة العالية لحاملات الشحنة (ثلاثة أضعاف طاقة الفجوة ) يمكن أيضاً أن تتولد في المادة حيث أن معدل تشتت الإلكترون وفونون يكون منخفض وعليها فإن عدد من التصادمات بين الإلكترون والفونون لا يمكنها أن تحدث خلال نبضة الليزر المفردة . ويمكن أن ينتج تسخين حاملات الشحنة خلال تفرع داخلي مفرد مباشر أو امتصاص متعدد للفوتونات بطريقة مشابهة جداً للامتصاص الداخلي بين شريط التكافؤ لشريط التوصيل والذي تم ذكره . وفي جميع المواد يمكن أن تحدث هاتين العمليتين بكل تأكيد لذلك يجب أخذهما في الاعتبار وتعتمد سيادة أحدهما على الترابط القوي بين الإلكترون والفونون .

### (3-3-3) Cascade ionization

### (3-3-3) التأين التدريجي

يشمل التأين التدريجي امتصاص حاملات الشحنة الحرة يتبعه تأين تصاصمي شكل  $c$  . وإذا تخطت طاقة الإلكترون في مستويات الطاقة العليا أقل طاقة في شريط التوصيل بمقدار يزيد عن طاقة الفجوة فإنه يمكن أن يؤيin الإلكترونا آخر من شريط التكافؤ لينتاج عن ذلك إلكترونين مثارين عند الطاقة الصغرى لشريط التوصيل (Yablonovitch and Bloembergen, 1972; Bloembergen, 1974) . ويمكن لهذه الإلكترونات أن تسخن بواسطة مجال الليزر الكهرومغناطيسي خلال امتصاص حاملات الشحنة الحرة ، وحينما تمتلك طاقة كافية فإنها تصطدم بـإلكترونات أكثر في شريط التكافؤ ويمكن أن تكرر هذه العملية نفسها في وجود المجال الكهرومغناطيسي لأشعة الليزر ذو الشدة الكافية والذي يؤدي إلى ما يطلق عليه الشلال الإلكتروني ويأخذ إسكان شريط التوصيل بواسطة هذه العملية الشكل  $\eta N$  حيث  $\eta$  هي معدل التأين التدريجي وهو معامل يعتمد على القياسات المعملية والذي يأخذ في الاعتبار الحقيقة التي تنص على أن حاملات الشحنة ذات الطاقة العالية فقط يمكن أن تحدث تأين تصاصمي . ويتطلب التأين التدريجي تواجد إلكترونات ابتدائية في شريط التوصيل و يمكنها

لحظياً أن تشار بواسطة التأين الفوتوني .وتصف معادلة المعدل التالية تغير الإلكترونات في شريط التوصيل للمواد العازلة بواسطة نبضات ليزر تتراوح ما بين الفيمتوثانية والبيكوثانية تحت التأثير المشترك لكل من الإثارة متعددة الفوتونات والتأين التدريجي (Stuart et al, 1996)

$$\frac{dN}{dt} = \alpha IN + \sigma NI^K \quad (3-18)$$

حيث  $\alpha$  ثابت وللمواد العازلة التي فيها فقد لحاملات الشحنة الحرة (مصيدية ذاتية وإعادة الاتصال) يحدث في نطاق زمني متقارب لطول نبضة ليزر الفيمتوثانية (مثل الكوارتز والسيلاكا المنصهرة ) من المفضل تطوير معادلة المعدل السابقة لتصبح على الصورة

$$\frac{dN}{dt} = \alpha IN + \sigma NI^m + \sigma_x N_{STE} I^K \quad (3-19)$$

$$\frac{dN_{STE}}{dt} = -\sigma_x N_{STE} p I^K + \frac{N}{\tau_x} \quad (3-20)$$

وتشمل هذه المعادلات مساهمة الإثارة ذاتية المصيدية بكتافة  $N_{STE}$  والتي تكونت خلال نبضة الليزر .  $\sigma_x$  هي مساحة مقطع التأين متعدد الفوتونات من الدرجة K لأكسيتونات المصيدية الذاتية و  $\tau_x$  هو الزمن المخصص للمصيدية. وقد تم وضع تفسير نظري للدور الذي يلعبه تغير عملية التأين التدريجي الكلاسيكي لنبضات متاهية القصر (Yudin et al, 2004). وأحد الآليات التي أخذت في الاعتبار هي الزيادة التدريجية للإلكترونات المؤدية إلى التصادم والتي بها تشار إلكترونات التكافؤ إلى شريط التوصيل بواسطة طاقة تقل عن عتبة الطاقة اللازمة للتأين بالتصادم عند امتصاصها لعدد من فوتونات الليزر خلال تصادم إلكتروني غير مرن. أما الآلية الأخرى فهي امتصاص متعدد الفوتونات بمساعدة تقوب وهذه العملية تشبه ما يسمى بزيادة تأين الجزيئات في مجالات الليزر عالية الشدة (Seideman et al, 1995). خلال المجال الكولومي لها فإن التقوب تعمل على زيادة معدل الامتصاص متعدد الفوتونات. وعند تولد تقوب جديدة فإنها تكمل نفس الاتجاه والذي يؤدي إلى تصادم تدريجي لإلكترونات حرقة.

وعلى الرغم من أنه تم استعراض بعض العمليات الأساسية التي يمكن أن تحدث عند معالجة المواد العازلة ببضات ليزر الفيمتوثانية . إلا أن المفاهيم الفيزيائية المصاحبة لهذه الظاهرة ما زالت غير مكتملة الإدراك ، في الفصل التالي سنقدم نمذجة عدديّة لآليات الانهيار المؤدي إلى تضرر المواد العازلة ذات فجوة الطاقة العريضة ، وقد تم اختيار السيليكا المنصهرة لما لها من تطبيقات متعددة ولتوفر القياسات المعملية والمعدلات اللازمأخذها في الاعتبار أثناء المعالجة النظرية.